

Starkniederschlagshöhen und -spenden gemäß KOSTRA-DWD-2020

Rasterfeld 67145

(Zeile 67, Spalte 145)

Regenspende und Bemessungsniederschlagswerte in Abhängigkeit von Wiederkehrzeit T und Dauerstufe D

| Dauerstufe D | | Wiederkehrzeit T | | | | | | | | | | | | | | | | | |
|--------------|-----|------------------|------------|------|------------|------|------------|------|------------|-------|------------|-------|------------|-------|------------|-------|------------|-------|------------|
| | | 1 a | | 2 a | | 3 a | | 5 a | | 10 a | | 20 a | | 30 a | | 50 a | | 100 a | |
| min | Std | mm | l / (s ha) | mm | l / (s ha) | mm | l / (s ha) | mm | l / (s ha) | mm | l / (s ha) | mm | l / (s ha) | mm | l / (s ha) | mm | l / (s ha) | mm | l / (s ha) |
| 5 | | 6,2 | 206,7 | 7,6 | 253,3 | 8,5 | 283,3 | 9,6 | 320,0 | 11,2 | 373,3 | 12,9 | 430,0 | 13,9 | 463,3 | 15,4 | 513,3 | 17,4 | 580,0 |
| 10 | | 7,9 | 131,7 | 9,6 | 160,0 | 10,7 | 178,3 | 12,1 | 201,7 | 14,1 | 235,0 | 16,2 | 270,0 | 17,6 | 293,3 | 19,4 | 323,3 | 21,9 | 365,0 |
| 15 | | 8,9 | 98,9 | 10,9 | 121,1 | 12,1 | 134,4 | 13,7 | 152,2 | 16,0 | 177,8 | 18,4 | 204,4 | 19,9 | 221,1 | 22,0 | 244,4 | 24,9 | 276,7 |
| 20 | | 9,8 | 81,7 | 11,9 | 99,2 | 13,2 | 110,0 | 15,0 | 125,0 | 17,5 | 145,8 | 20,1 | 167,5 | 21,8 | 181,7 | 24,0 | 200,0 | 27,2 | 226,7 |
| 30 | | 11,0 | 61,1 | 13,4 | 74,4 | 14,9 | 82,8 | 16,9 | 93,9 | 19,8 | 110,0 | 22,7 | 126,1 | 24,6 | 136,7 | 27,1 | 150,6 | 30,7 | 170,6 |
| 45 | | 12,4 | 45,9 | 15,2 | 56,3 | 16,9 | 62,6 | 19,1 | 70,7 | 22,3 | 82,6 | 25,6 | 94,8 | 27,7 | 102,6 | 30,6 | 113,3 | 34,6 | 128,1 |
| 60 | 1 | 13,5 | 37,5 | 16,5 | 45,8 | 18,3 | 50,8 | 20,8 | 57,8 | 24,3 | 67,5 | 27,8 | 77,2 | 30,2 | 83,9 | 33,3 | 92,5 | 37,7 | 104,7 |
| 90 | 1,5 | 15,2 | 28,1 | 18,6 | 34,4 | 20,7 | 38,3 | 23,4 | 43,3 | 27,3 | 50,6 | 31,3 | 58,0 | 34,0 | 63,0 | 37,5 | 69,4 | 42,4 | 78,5 |
| 120 | 2 | 16,6 | 23,1 | 20,2 | 28,1 | 22,5 | 31,3 | 25,4 | 35,3 | 29,7 | 41,3 | 34,1 | 47,4 | 37,0 | 51,4 | 40,7 | 56,5 | 46,1 | 64,0 |
| 180 | 3 | 18,6 | 17,2 | 22,7 | 21,0 | 25,3 | 23,4 | 28,6 | 26,5 | 33,4 | 30,9 | 38,3 | 35,5 | 41,6 | 38,5 | 45,8 | 42,4 | 51,9 | 48,1 |
| 240 | 4 | 20,2 | 14,0 | 24,7 | 17,2 | 27,4 | 19,0 | 31,1 | 21,6 | 36,3 | 25,2 | 41,7 | 29,0 | 45,2 | 31,4 | 49,8 | 34,6 | 56,4 | 39,2 |
| 360 | 6 | 22,8 | 10,6 | 27,8 | 12,9 | 30,9 | 14,3 | 34,9 | 16,2 | 40,8 | 18,9 | 46,8 | 21,7 | 50,8 | 23,5 | 56,0 | 25,9 | 63,4 | 29,4 |
| 540 | 9 | 25,6 | 7,9 | 31,2 | 9,6 | 34,7 | 10,7 | 39,3 | 12,1 | 45,8 | 14,1 | 52,6 | 16,2 | 57,1 | 17,6 | 62,9 | 19,4 | 71,3 | 22,0 |
| 720 | 12 | 27,8 | 6,4 | 33,9 | 7,8 | 37,7 | 8,7 | 42,6 | 9,9 | 49,8 | 11,5 | 57,2 | 13,2 | 62,0 | 14,4 | 68,4 | 15,8 | 77,4 | 17,9 |
| 1080 | 18 | 31,2 | 4,8 | 38,1 | 5,9 | 42,3 | 6,5 | 47,9 | 7,4 | 56,0 | 8,6 | 64,3 | 9,9 | 69,7 | 10,8 | 76,8 | 11,9 | 87,0 | 13,4 |
| 1440 | 24 | 33,9 | 3,9 | 41,4 | 4,8 | 46,0 | 5,3 | 52,1 | 6,0 | 60,8 | 7,0 | 69,8 | 8,1 | 75,7 | 8,8 | 83,4 | 9,7 | 94,5 | 10,9 |
| 2880 | 48 | 41,4 | 2,4 | 50,5 | 2,9 | 56,2 | 3,3 | 63,6 | 3,7 | 74,2 | 4,3 | 85,2 | 4,9 | 92,4 | 5,3 | 101,9 | 5,9 | 115,4 | 6,7 |
| 4320 | 72 | 46,5 | 1,8 | 56,8 | 2,2 | 63,1 | 2,4 | 71,4 | 2,8 | 83,4 | 3,2 | 95,8 | 3,7 | 103,9 | 4,0 | 114,5 | 4,4 | 129,7 | 5,0 |
| 5760 | 96 | 50,6 | 1,5 | 61,7 | 1,8 | 68,6 | 2,0 | 77,6 | 2,2 | 90,6 | 2,6 | 104,0 | 3,0 | 112,8 | 3,3 | 124,3 | 3,6 | 140,9 | 4,1 |
| 7200 | 120 | 53,9 | 1,2 | 65,8 | 1,5 | 73,1 | 1,7 | 82,7 | 1,9 | 96,6 | 2,2 | 110,9 | 2,6 | 120,3 | 2,8 | 132,6 | 3,1 | 150,2 | 3,5 |
| 8640 | 144 | 56,8 | 1,1 | 69,3 | 1,3 | 77,0 | 1,5 | 87,2 | 1,7 | 101,8 | 2,0 | 116,9 | 2,3 | 126,8 | 2,4 | 139,7 | 2,7 | 158,3 | 3,1 |
| 10080 | 168 | 59,4 | 1,0 | 72,4 | 1,2 | 80,5 | 1,3 | 91,1 | 1,5 | 106,4 | 1,8 | 122,2 | 2,0 | 132,5 | 2,2 | 146,1 | 2,4 | 165,5 | 2,7 |

Starkniederschlagshöhen und -spenden gemäß KOSTRA-DWD-2020

Rasterfeld 67145

(Zeile 67, Spalte 145)

Örtliche Unsicherheiten in Abhängigkeit von Wiederkehrzeit T und Dauerstufe D

| Dauerstufe D | | Wiederkehrzeit T | | | | | | | | |
|--------------|-----|------------------|-----|-----|-----|------|------|------|------|-------|
| | | 1 a | 2 a | 3 a | 5 a | 10 a | 20 a | 30 a | 50 a | 100 a |
| min | Std | ± % | ± % | ± % | ± % | ± % | ± % | ± % | ± % | ± % |
| 5 | | 15 | 16 | 17 | 17 | 18 | 19 | 20 | 20 | 21 |
| 10 | | 16 | 18 | 19 | 20 | 21 | 22 | 23 | 23 | 24 |
| 15 | | 17 | 19 | 20 | 21 | 22 | 23 | 24 | 24 | 25 |
| 20 | | 17 | 19 | 20 | 21 | 22 | 24 | 24 | 25 | 25 |
| 30 | | 16 | 19 | 20 | 21 | 22 | 23 | 24 | 25 | 25 |
| 45 | | 15 | 18 | 19 | 20 | 22 | 23 | 23 | 24 | 25 |
| 60 | 1 | 14 | 17 | 18 | 19 | 21 | 22 | 23 | 23 | 24 |
| 90 | 1,5 | 13 | 16 | 17 | 18 | 19 | 21 | 21 | 22 | 23 |
| 120 | 2 | 12 | 15 | 16 | 17 | 18 | 20 | 20 | 21 | 22 |
| 180 | 3 | 11 | 13 | 14 | 16 | 17 | 18 | 19 | 19 | 20 |
| 240 | 4 | 10 | 12 | 13 | 15 | 16 | 17 | 18 | 18 | 19 |
| 360 | 6 | 10 | 11 | 12 | 13 | 15 | 16 | 16 | 17 | 17 |
| 540 | 9 | 10 | 11 | 11 | 12 | 14 | 14 | 15 | 16 | 16 |
| 720 | 12 | 10 | 10 | 11 | 12 | 13 | 14 | 14 | 15 | 15 |
| 1080 | 18 | 11 | 11 | 11 | 12 | 12 | 13 | 14 | 14 | 15 |
| 1440 | 24 | 11 | 11 | 11 | 12 | 12 | 13 | 13 | 14 | 14 |
| 2880 | 48 | 14 | 14 | 13 | 13 | 13 | 14 | 14 | 14 | 14 |
| 4320 | 72 | 16 | 15 | 15 | 15 | 15 | 15 | 15 | 15 | 15 |
| 5760 | 96 | 18 | 17 | 16 | 16 | 16 | 16 | 16 | 16 | 16 |
| 7200 | 120 | 19 | 18 | 17 | 17 | 17 | 17 | 16 | 16 | 16 |
| 8640 | 144 | 20 | 19 | 18 | 18 | 18 | 17 | 17 | 17 | 17 |
| 10080 | 168 | 21 | 20 | 19 | 19 | 18 | 18 | 18 | 18 | 18 |

Parameter für abweichende T und D

Lokationsparameter ξ (Xi)

13,61552935

Skalenparameter α (Alpha)

4,15871799

Formparameter κ (Kappa)

-0,1

1. Koutsoyiannis-Parameter θ (Theta)

0,0077512

2. Koutsoyiannis-Parameter η (Eta)

0,71240475

Parameter für dauerstufenübergreifende Extremwertschätzung nach KOUTSOYIANNIS et al. 1998.

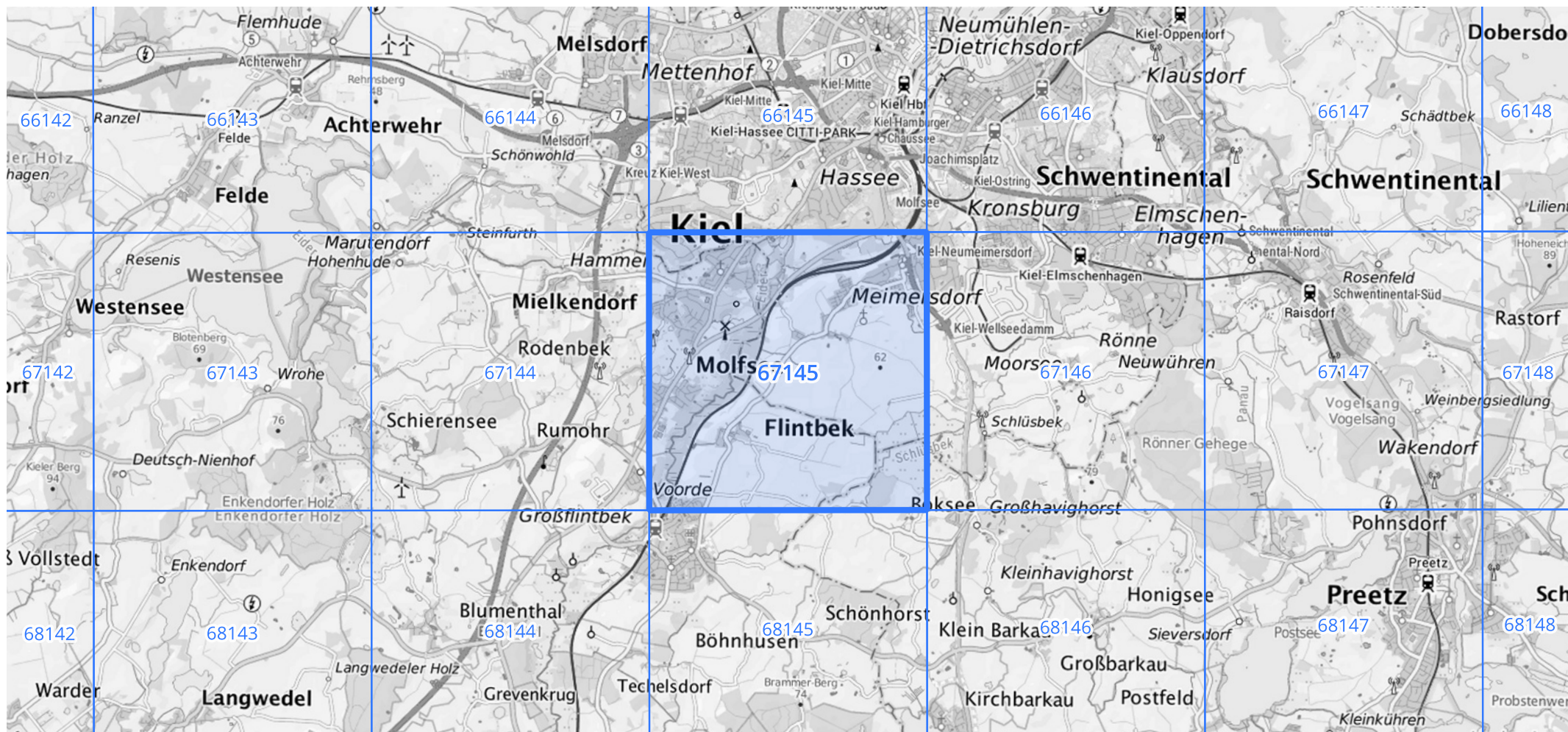
Siehe auch Anwendungshilfe zu KOSTRA-DWD-2020 des Deutschen Wetterdienstes.

Starkniederschlagshöhen und -spenden gemäß KOSTRA-DWD-2020

Rasterfeld 67145

(Zeile 67, Spalte 145)

Übersichtskarte des Rasterfeldes 67145, M 1 : 100 000



Quelle Rasterdaten: KOSTRA-DWD-2020 des Deutschen Wetterdienstes, Stand 12/2022.

Seite 3 von 3

Kartendarstellung: © Bundesamt für Kartographie und Geodäsie (2023), Datenquellen: https://sgx.geodatenzentrum.de/web_public/gdz/datenquellen/Datenquellen_TopPlusOpen.html

Für die Richtigkeit und Aktualität der Angaben wird keine Gewähr übernommen. Erstellt 01/2023.